

石川島播磨重工(株) 正員 ○植上秀一
佐々木敏

1. まえがき

中規模斜張橋はその経済性より折高／折幅比の大きい充復補剛析を有することが多く、耐風安定性上過剰振動が問題となる。このためフラップ、ディフレクター等の採用により空力断面特性の改善が試みられるが、一般的に過剰振動を完全に抑えることは難しい。従って耐風性は奥橋の構造減衰に負うところが大きいと言われている。著者らは典型的な中規模斜張橋の耐風性の検討を行なう機会を得て風洞実験と実橋振動特性実験を一貫して実施した。これらの実験結果より構造減衰の重要性を具体的に示すと共に奥橋の構造減衰に関する資料及び折合の動的相互作用現象が得られたのでここにこれらを報告する。

2. 實験対象橋¹⁾

対象橋は、関西電力相生火力発電所の建設道路用に建設された日の浦橋(図-1)と藤戸橋(120m+30m, 2径間連続橋)である。これらの橋は図-2に示す断面の補剛析を有する。

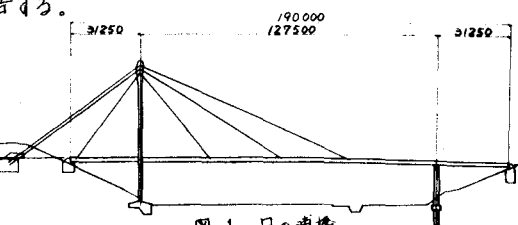


図-1 日の浦橋

3. 風洞実験

縮尺 $1/25$ の部分模型を用いた2次元バネ支持実験によっている。構造減衰率 $\xi_s = 0.02$ のもとに得られた結果を図-3に示す。基本断面はフランジャーに対し良好な耐風性を示すが、ねじれとたわみの両モードの過剰振動が認められ、特にねじれモードの振動は非常に大きい。制振对策として採用したフラップを施すと断面の過剰振特性は改善され、ねじれとたわみ振幅はそれぞれ 0.9° と $2\% / \text{sec}$ まで減少する。このうちのねじれ過剰振動は共振風速が 30 m/sec 以上と高く、また発現迎角範囲が限界されていることより耐風安定性上問題が無いと言える。一方、たわみ振動の共振風速は 10 m/sec 前後と低いためこの振動が実橋で實際に発生した場合、使用性上問題があると考えられる。図-4はフランジャーを施した時、たわみ振動に対する断面空力特性が構造減衰に大きく依存することを示しており、本橋の耐風性において奥橋の構造減衰が重要な位置を占めていることが明らかである。本橋は構造減衰が 0.04 程度あればたわみ過剰振が全く発生しないよう。このような耐風性の構造減衰依存は、安定化对策を施した充復剛析によく見られる現象である。

4. 實橋振動特性実験

日の浦橋を対象として表-1に示す4施工段階について実施した。本橋はステージング工法によっているため、これらの施工段階において張り出し工法のよう構造系の変化はない。実験は自由振動法によっており、初期振幅はワイヤーロープを介し地上で電動(段階Ⅰ, Ⅱ, Ⅲ, Ⅳ)と手動加振機(段階Ⅳ)で与えた。表-2に減衰波形より求めた各施工段階の折構造減衰と振動数を示す。本橋の耐風性を左右するたわみ

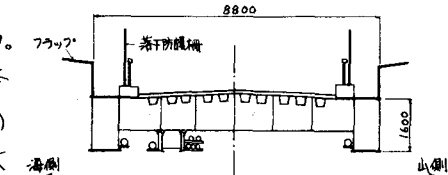


図-2 断面形状

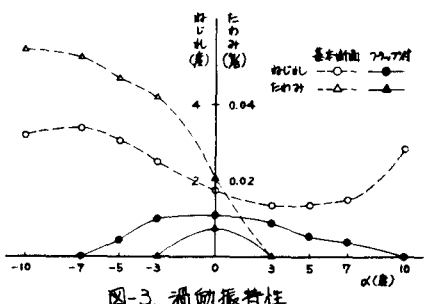


図-3 振動特性

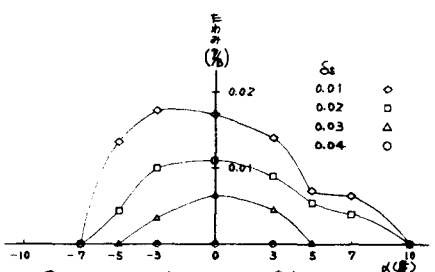


図-4 たわみ過剰振幅振幅の構造減衰依存

計1次の構造減衰の変化に着目してみると、段階I→II→IIIの増加は微小であるのに対し、段階III→IVの(図-5)増加は比較的大きい。これらの変化のうち、I→II→IIIは減衰が軽重量と共に大きくなっていることより、軽重量の違いに起因していようと推測される。段階IIIとIVの構造系の違いは、ケーブルグラウト施工の前・後と安全ネットの有無だけである。この段階間の減衰増加がケーブル自体の減衰変化によるものであれば、グラウトによりケーブル減衰が増大していなければならぬ。しかし、グラウト後の減衰はグラウト前と比較して逆に小さくなっている(ケーブルの弦振動減衰は、グラウト前で $\delta_s = 0.0109$ 、グラウト後は 0.006 であった。この減衰の低減は、グラウト注入前に P.E. 被覆管とケーブル鋼線間に隙間があり、この間で捲接摩擦が発生していたためと思われる)。また安全ネットの撤去は、荷重面回りの空力減衰を低減せらるることは考られるが、構造減衰増加の原因であるとは言えない。このように構造系に著しい変化が無い状態で、比較的大きい減衰増加が認められた現象は、最長ケーブルと杆の動的相互作用によることが推測される。最長ケーブルの固有振動数は、段階IIIで 1.1 Hz であったが、段階IVではグラウトの付加質量により 1.0 Hz に低下した。その結果、ケーブル固有振動数が軽の固有振動数 0.84 Hz に接近した。一方、手動加振機で得られた段階IVの結果(図-5)は、構造減衰が振幅に依存することを示している。振幅 $\gamma/B = 0.0011$ で構造減衰は 0.04 に達していようとより、本橋はたわみ制御振幅耐震性に関する問題が無いと言える。

筋ヒケープルの動的相互作用に関する報告がある。
2) 3) 藤戸橋においてもこの現象が観測された。筋
と最長ケーブルが共振を起し、筋のためか1次モード
加振は同じ手動加振機によつてもしかめらす。
また加振停止後、筋は一撃急激に減衰し、その後
く。小さな振幅にしかも加振びきがかった現象と加振
一周期は筋振動効果を持つことを示している。加振
上とする。

5. あとがき

構造減衰と斜張橋の調和振動風属性に及ぼすもの、今後、奥橋構造減衰の振幅依存性に関する資料の蓄積とケーブル構造系の動的特性に関する理論的研究を進めていくことが必要であると考えられる。

表-1 奥橋振動実験段階（日の赤橋）

段階	I	II	III	IV
状態	ケーブル張力 調整後	アーチ、地盤 施工後	鋪装 施工後	ケーブルクラウド 解消後
荷重量 (t)	606	808	1024	996

* ケーブル筋直量 クラウト前 29.01 cm, クラウト後 36.36 cm

表-2 構造減衰率と固有振動数(日の角筋)

品种	I	II	III	IV
红叶1次	0.011	0.013	0.016	图-5
“2X”	0.014	0.018	0.022	—
白叶1次	0.025	0.017	0.017	0.017
“2X”	0.029	0.020	0.030	0.031
红叶2次	1.05	0.88	0.80	0.84
“2X”	1.89	1.68	1.52	1.60
白叶2次	1.94	1.68	1.60	1.68
“2X”	2.96	2.68	2.60	2.64

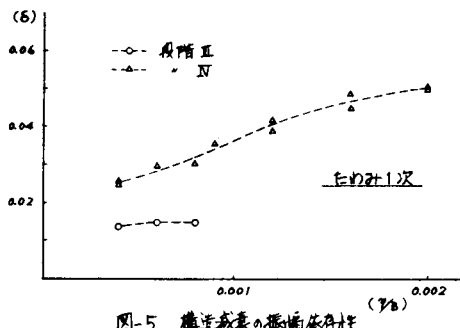


図-5 磨造減衰の振幅依存性

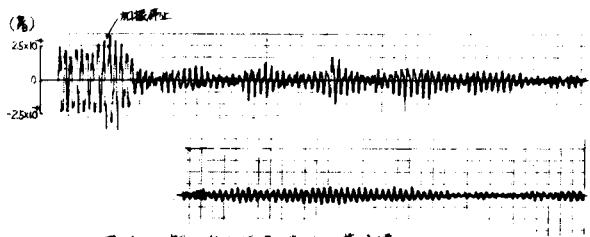


図-6 斜の自由振動波形(藤戸橋)

参考文献 1). 丹羽「共通アンカーを持つ地盤走る式斜張橋、一 藤戸橋 かべば 日浦橋 一」 橋梁と基礎 82-6
 2). 成井、上原「Parana川に架かる Zarate-Brazo Largo 大橋の模型実験」 橋梁と基礎 82-2
 3). 富田、山口、奥野「塔、橋系に付加されたケーブルの質量ダンパー効果と効果」 第35回土木年次講演集